

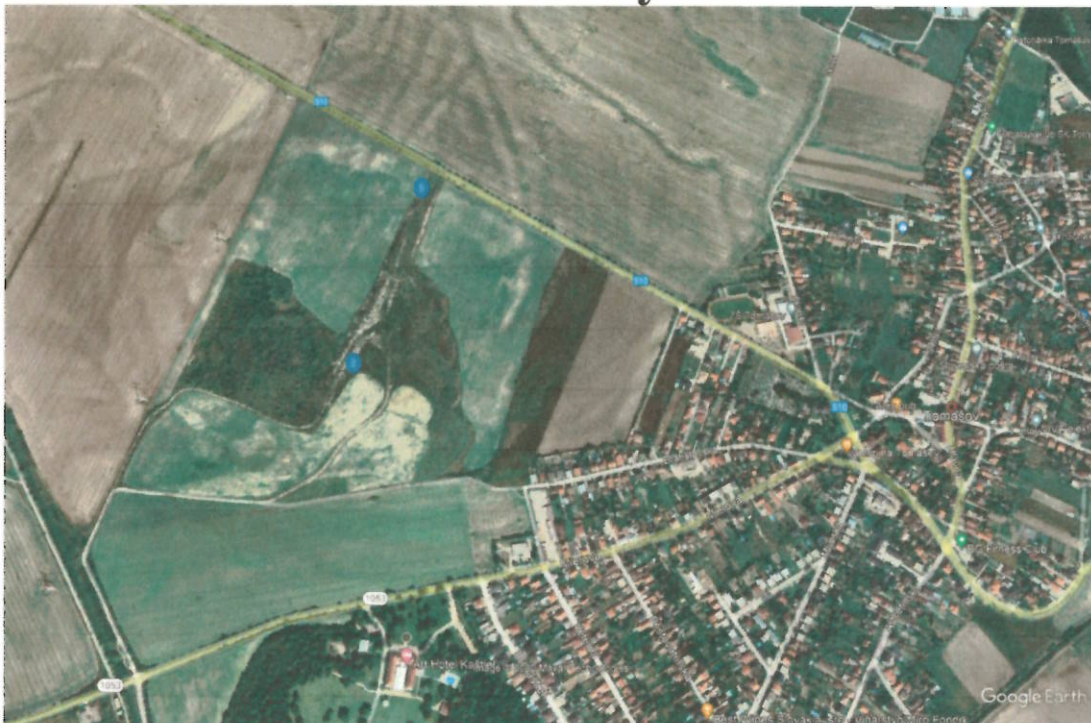


Špecializovaná organizácia na ochranu kvality podzemných vôd

**HYDRANT s.r.o., Stupavská č. 34, 831 06 Bratislava**

e-mail: antal@hydrantsro.sk, www.hydrantsro.sk, tel.: 02/446 40 526, mobil: 0905 446 360

**Tomášov – skládka odpadov  
(p. č. 1375/32 k. ú. Tomášov)  
monitorovacie vrty T-1 a T-2**



|                           |  |
|---------------------------|--|
| Druh geologických prác :  | Geologický prieskum životného prostredia                                       |
| Objednávateľ :            | Enviro Tomasov s.r.o.  |
| Zodpovedný riešiteľ :     | RNDr. Ján Antal<br>Č. preukazu odbornej spôsobilosti: Viedaného MŽP SR: 106/93 |
| Spoluriešiteľ :           | Mgr. Martin Antal  |
| Číslo geologickej úlohy : | 45 / 2022  |
| Registračné č. Geofond :  | / 2022   |
| Dátum :                   | december 2022  |



## 1. ÚVOD

Na základe objednávky od spoločnosti **Enviro Tomasov s.r.o.** realizovala spoločnosť HYDRANT s.r.o. geologický prieskum životného prostredia na lokalite „skládky odpadov“. Cieľom realizovaných prác bolo vybudovať funkčný monitorovací systém sledovania aktuálneho stavu kvality podzemných vôd.

Za týmto účelom boli v rámci hodnotenej geologickej úlohy na lokalite predmetného územia vybudované 2 monitorovacie vrty do hĺbky 10 m – T-1 a T-2. Predmetné monitorovacie vrty majú za úlohu dokumentovať stav kvality podzemných vôd do predmetného areálu pritekajúcich, ako aj odtekajúcich. Vzhľadom na špecifikum lokality - úzka, dlhá parcela v smere „kolmom“ na prirodzený smer prúdenia bola možnosť naplnenia podmienky dokumentovania stavu kvality podzemných vôd do územia „pritekajúcich a následne odtekajúcich“ limitovaná.

V budúcnosti budú vybudované vrty využívané na pravidelný monitoring kvality podzemných vôd. V rámci hodnotených prác boli vybudované a následne ovzorkované s cieľom dokumentovania „aktuálneho“ stavu kvality podzemných vôd v tejto oblasti.

Predkladaná záverečná správa podrobne hodnotí výsledky realizovaných geologických prieskumných prác.

## 2. PRÍRODNÉ POMERY

Posudzovaná lokalita „skládky spoločnosti Enviro Tomasov“ je situovaná na p. č. 1375/32 severozápadne od okraja intravilánu obce - vid' situáciu.



Obrázok č.1 – Záujmové územie označené

**Z hľadiska geomorfologického členenia Slovenska** [MAZÚR, LUKNIŠ 1984] spadá záujmová oblasť do Podunajskej roviny. Podľa regionálne-geologického členenia Západných Karpát [VASS et al. 1988] ide o súčasť Podunajskej panvy - Gabčíkovskej panvy.

**Podľa inžiniersko-geologickej rajonizácie** [HRAŠNA 1988] je skúmané územie súčasťou regiónu neogénnych tektonických vkleslín, oblasť vnútrokarpatských nížin, rajón prevažne štrkopiesčitých údolných riečnych náplavov. Povrch terénu je rovinný, bez výraznejších výškových zmien s nadmorskou výškou cca 115 m n. m. Morfoštruktúrne tvary terénu sú determinované predovšetkým sedimentačnou činnosťou Dunaja, pričom pôvodné morfoštruktúrne tvary boli týmito zásahmi často zakryté.

Územie náleží hydrograficky do povodia Dunaja a je odvodňované Dunajom a systémom umelých zavlažovacích kanálov.

**V zmysle klimatologickej klasifikácie** patrí územie do oblasti teplej, mierne vlhkej, s miernou zimou. Priemerná ročná teplota vzduchu sa pohybuje v rozpáli 9,7 – 10,5 °C. Najteplejší mesiac je júl s priemernou teplotou 19,1 – 20,7 °C, najchladnejší mesiac je január s priemernou teplotou - 1,5 až - 0,8 °C.

**Z hľadiska geologickej stavby** záujmového územia sú vo vzťahu k riešenej úlohe zaujímavé najmladšie polohy kvartérnych sedimentov, ktoré vytvárajú prevažne hlinitý a ílovitý pokryv s premenlivým podielom piesčitej frakcie na štrkovitých náplavoch Dunaja. Povrchové súvrstvie **povodňových hlinito-ílovitých sedimentov** je uložené na súvrství **fluviálnych štrkov a štrkopieskov**.

Najstaršími **neogénnymi sedimentmi** v gabčíkovskej panve sú strednobádenské (vo východnej časti spodnobádenské) morské klastické usadeniny. V centrálnej časti gabčíkovskej panvy je zachovaný mohutný neogénný sedimentárny sled od bádenských morských usadenín, cez sarmatské euxibracké, až po panónsko-pontské kaspibracké a pliocénne limnické usadeniny.

Oblast' záujmového územia leží zo štruktúrneho hľadiska v centrálnej časti panvy. Neogénná sedimentácia tu začala na paleozoickom kryštalickom substráte až počas panónu za synsedimentárneho spoluúčinkovania poklesovej zlomovej aktivity. Výsledkom poklesového trendu na zlomoch je značný nárašt mocnosti neogénnych sedimentov smerom do centra Podunajskej panvy. Je zistené pribúdanie mocnosti panónskych sedimentov od západu na východ až o 1 000 m. Uvedená **zlomová aktivita** sa uplatňovala na modelovaní reliéfu oblasti i v mladších obdobiach a odzrkadľuje ešte aj **recentné vertikálne trendy výzdvihu malokarpatskej hraste a poklesu oblasti Podunajskej panvy**.

Územie sa nachádza v širšej pririečnej zóne, kde na režime úrovne hladiny podzemnej vody sa podieľa hlavne Dunaj, Malý Dunaj, umelé ramená a zrážková činnosť. Z hydrogeologickej hľadiska je predmetné územie komplikované pestrým vývojom geologickej stavby. Režim a obeh podzemnej vody je determinovaný interakciou jednak geomorfologických, klimatických, geologických pomerov a jednak antropogénnych vplyvov. Územie sa nachádza v pririečnej zóne vplyvu Dunaja, kde podzemné vody sú dotované brehovou infiltráciou z povrchových tokov. Územie patrí do hydrogeologickej rajónu "**Kvartér Podunajskej roviny**".

Hydrogeologická štruktúra bola vyčlenená na základe geologickej vývoja. Zo západnej strany rajón ohraničujú Malé Karpaty s odlišnou geologickej stavbou, hydrogeologickými pomermi, obehom a režimom podzemných vôd. Hydrogeologická štruktúra v tomto rajóne je dominantne ovplyvňovaná povrchovým tokom Dunaja. Zvodnené prostredie je tvorené

dunajskými fluviálnymi sedimentami. Lokálne prvý zvodnený kolektor je často prepojený s piesčitými polohami podložného neogénu, čím sú miestami vytvorené komplikovanejšie podmienky obehu a režimu podzemných vód.

Súvrstvie kvartérnych sedimentov menších mocností sa vyznačuje pôrovou priepustnosťou a voľnou hladinou podzemnej vody. Charakteristickou vlastnosťou štrkopiesčitého súvrstvia pleistocénnych náplavov Dunaja je vrstevná heterogenita, podmienená častým striedaním priepustnejších a menej priepustných vrstiev spojená s vlastnou anizotropiou danou orientáciou sedimentárnych zín. Priepustnosť je smerovo variabilná, lokálne veľmi rozdielna. Vo všeobecnosti komplex kvartérnych sedimentov má stredný stupeň prietočnosti s hodnotami v intervale  $1 \times 10^{-3} \sim 1 \times 10^{-3}$  m<sup>2</sup>.s<sup>-1</sup> a horizontálnou priepustnosťou v rozhraní rádov  $10^{-2}$  až  $10^{-3}$  m.s<sup>-1</sup>.

Komplex neogénnych sedimentov prevažne v ilovitom vývoji predstavuje z hydrogeologického hľadiska poloizolátor až izolátor. Obeh vody je značne spomalený, zvodnené kolektory (piesky a piesčité ľily) malých mocností nevytvárajú výraznejšie akumulácie podzemných vód, tvoria väčšinou uzavreté šošovky, resp. horizontálne vyklijujúce polohy s napäťou hladinou podzemnej vody, pôrovou priepustnosťou a nízkym stupňom prietočnosti pod  $1 \times 10^{-5}$  m<sup>2</sup>.s<sup>-1</sup>, a negatívnu piezometrickou výškou. V závislosti od hlbky zvodnených kolektorov rastie hodnota mineralizácie a teploty. Výdatnosti jednotlivých vrtov sa pohybujú v intervale 5 ~ 40 l.s<sup>-1</sup>. Podzemné vody v tejto oblasti sú charakterizované výrazným kalciohydrogén-uhličitanovým typom s celkovou mineralizáciou 500 - 700 mg/l. Chemické zloženie podzemnej vody sa podstatne mení vo vertikálnom smere. Vo vrchnejších polohách kvartéru je kvalita podzemnej vody výrazne negatívne ovplyvnená antropogénnou činnosťou, jej mineralizácia je okolo 700 mg/l. Sprievodným znakom kvality týchto vód je zvýšený obsah dusičnanov, NH<sub>4</sub><sup>+</sup>, Fe, Mn, prítomnosť organických látok. V hlbších horizontoch, kde vplyv antropogénej činnosti vyznieva, je kvalita podzemných vód až na lokálne mierne anomálie v súlade s kritériami STN pre Pitnú vodu.

Hodnotená lokalita, ako aj celé širšie okolie lokality **spadá do významnej vodohospodársky chránenej oblasti Žitný ostrov**. Generálny smer prúdenia podzemnej vody je juhovýchodný. Smer prúdenia podzemných vód v predmetnej oblasti dokumentuje nasledujúca mapa hydroizohýps, ktorá bola skonštruovaná z databázy režimových pozorovaní základnej siete SHMÚ. **Smer prúdenia podzemných vód je kolmý na hydroizohypy\*** (\*modré a červené čiary, ktoré spájajú miesta s rovnakou nadmorskou výškou hladiny podzemnej vody.)

Na základe výsledkov režimových pozorovaní SHMÚ možno konštatovať:

- V priebehu roku počas rôznych režimových stavov dochádza len k minimálnym odchýlkam globálneho smeru prúdenia podzemných vód (modré hydroizohypy - nízky stav a červené hydroizohypy - vysoký stav hladín podzemných vód).
- **Globálny smer prúdenia podzemných vód v záujmovej oblasti je JV až východný.**
- **Hladina podzemnej vody kolíše v intervale cca 4,2 – 4,5 m.**

Obrázok č. 2 obsahuje smery prúdenia podzemných vód na Žitnom ostrove za rok 2010.

#### 4.1. Vrtné práce

Prieskumný vrty T-1 a T-2 boli odvŕtané do hĺbky 10 m. Vrt T-1 bude dokumentovať stav kvality podzemných vôd do územia pritekajúcich a vrt T-2 stav kvality z územia odtekajúcich. Pozície situovania vrtov dokumentuje nasledujúca fotodokumentácia.



**Obrázok č.5 – Situovanie vrtov**

Vrtné práce na vrte T-1 realizovala firma **Arnošt Dobrucký - DOAR**, so sídlom v Galante dňa 21.11.2022. Bola použitá ručná vrtná súprava typ A-50. Vŕtanie bolo realizované točivým spôsobom a následne kalovkou s plným pažením.

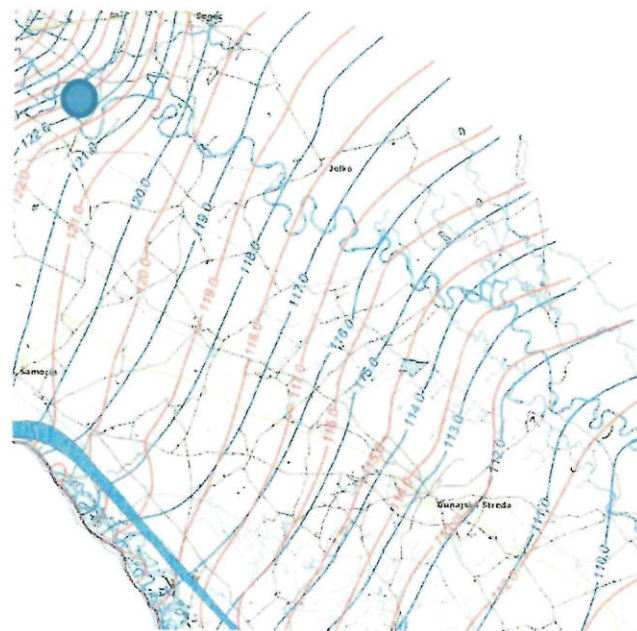
V prípade vrtu T-2 sa 21.11. vzhľadom na betónové sute nepodarilo vŕtať ručnou súpravou a vrt T-2 nakoniec odvŕtala strojová súprava spoločnosti **MMdrill s.r.o.** vrtmajstra pána Mareka Matušíka so sídlom v Bratislave.

#### Vrt T-1

Pre definitívnu výstroj vrtu boli použité PVC rúry o priemere 160 mm. Pre filtrovú časť bola použitá štrbinová perforácia rovnakého priemeru, ktorá je obalená siet'ovinou o rozmere ôk 1x1 mm. Filter bol umiestnený v intervale od 5,00 – 9,00 m pod úrovňou terénu. Od 9,00 m do 10,0 m sa nachádza kalník. Geotechnický profil hydrogeologického vrtu-1 je obsahom prílohy č.1.



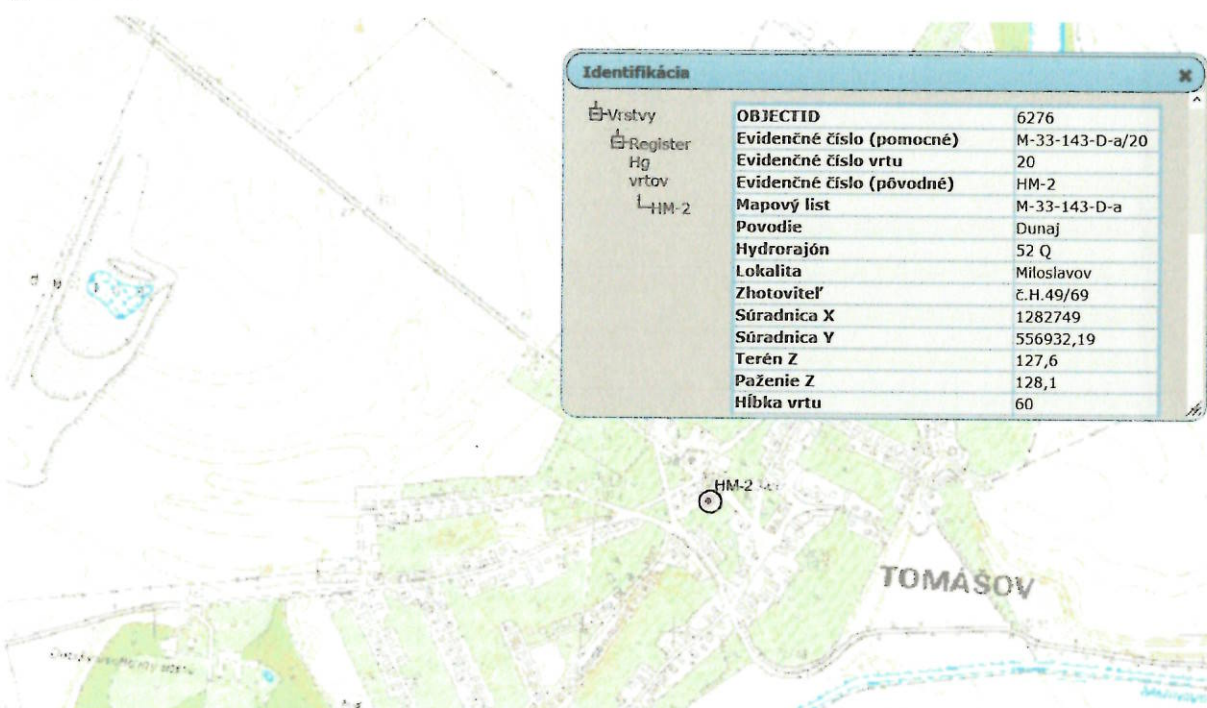
**Obrázok č.6 – Vrt T-1**



Obrázok č.2 – Detail pre záujmové územie (modré hydroizohypy - nízky stav a červené hydroizohypy – vysoký stav hladín podzemných vod)

### 3. PRESKÚMANOSŤ ÚZEMIA

V záujmovom území sa uskutočnili v minulosti hlavne inžiniersko-geologické prieskumné práce zamerané na zakladanie budov v obci Tomášov. Keďže priamo na lokalite nebol realizovaný žiadny prieskum pre charakteristiku hydrogeologických pomerov záujmového územia použijeme výsledku najbližšieho archívneho hydrogeologického vrchu z archívu geofondu.



Obrázok č.3 – Archívne vrty v okolí (archív Geofond)

| Evidenčný list vrtu   |                      |  |          |  |       |          |        |
|---|----------------------|--|----------|--|-------|----------|--------|
| Mapa M - 33 - 143 - B - a   | Archívne číslo vrta  | X  | Y        | Evid. číslo vrta                             | 20    |          |        |
| Povode Dunaj  | Hydrofond            |  |          | Hydrolog. číslo                              |       |          |        |
| Hydrogeol. zóna ZONE 2 až 3 a   | Geofond 21996        | Z  | /128,10/ | Pov. číslo vrta                              | 124-2 |          |        |
| lokálne Miloslavov  | Piev. org. 8-H-49/69 |  | /127,6/  |  |       |          |        |
| okres Bratislava-vidiek   |                      |  |          |  |       |          |        |
| Nazov správy: Vyhodnotenie prieskumného hydrogeologického vrta 125 na lokalite Miloslavov.                            |                      |  |          |  |       |          |        |
| Autor: Tariel Matoj Pechočínskova A.  |                      |  |          |  |       |          |        |
| Prevádzkovateľ: Vodné zdroje Bratislavská   |                      |  |          |  |       |          |        |
| Investor: KOVAK Bratislava  |                      |  |          |  |       |          |        |
| Rok a mesiac prevedenia: august 1969  |                      |  |          |  |       |          |        |
| KRIVKA ZRNITOSTI ZVOLNENÉHO MATERIAĽU   |                      |  |          |  |       |          |        |
| 100   | prach                | pešok  | zrny     | zrny   | hrubý |          |        |
| 90  |                      |  | svetlý   | svetlý                                       |       |          |        |
| 80  |                      |  | hrubý    | hrubý  |       |          |        |
| 70  |                      |  | dobry    | dobry  |       |          |        |
|   |                      |  | stredny  | stredny                                      |       |          |        |
|   |                      |  |          |  | hrubý |          |        |
| GEOLOGICKÝ POPIS VRTU 7-2-69-B-4-69   |                      |  |          |  |       |          |        |
| Hl. m.  | Č. vr.               | Petrografický popis  | Hl. m.   |  |       |          |        |
| 0,00  | 0,1                  | K V A R T Ě R .  |          |  |       |          |        |
| 0,6   |                      | Hlina hrudná ornica  |          |  |       |          |        |
| 6,1   |                      | Hlina hrudná pieskítá a val.-do cm, cca 50%  |          |  |       |          |        |
| 7,1   |                      | Štrkopiesok cca 80% piesok   |          |  |       |          |        |
| 19,0  |                      | Štrkopiesok cca 60% piesku   |          |  |       |          |        |
| 32,0  |                      | Piesok stredno až hrubožrný cca 5% val.-do 5 cm.                                     |          |  |       |          |        |
| 39,0  |                      | Štrkopiesok a val. do 15 cm cca 30% piesok strednožrný.                              |          |  |       |          |        |
| 43,0  |                      | Štrkopiesok a val. do 10-15 cm cca 40% piesok strednožrný.                           |          |  |       |          |        |
| 52,0  |                      | Štrkopiesok a val. do 10-20 cm hrdzavozlity cca 50% piesok strednožrný.              |          |  |       |          |        |
| 53,0  |                      | Štrkopiesok a val. do 10-15 cm hrdzavozlity cca 60% piesok strednožrný.              |          |  |       |          |        |
| 60,0  |                      | Štrkopiesok a val. do 10 cm ojedinele 15 sedožlity cca 50%, piesok strednožrný.      |          |  |       |          |        |
|   |                      | Štrkopiesok a val. do 20 cm sedožlity cca 20% piesok hrubožrný, čiastočne zahlinený. |          |  |       |          |        |
|   |                      | cm   |          |  |       |          |        |
| CHEMICKÁ ANALYZA VODY   |                      |  |          |  |       |          |        |
| Odber dňa: 7-7-1969 Laboratórium: KOVAK Bratislava  |                      |  |          |  |       |          |        |
| Prek  | mg/l                 | mvat/l   | mvat %   | Prek   | mg/l  | mvat/l   | mvat % |
| Li <sup>+</sup>   |                      |  |          | Cl <sup>-</sup>                              |       |          |        |
| Na <sup>+</sup>   |                      |  |          | Br <sup>-</sup>                              |       |          |        |
| K <sup>+</sup>  |                      |  |          | J <sup>-</sup>                               |       |          |        |
| NH <sub>4</sub> <sup>+</sup>  |                      |  |          | F <sup>-</sup>                               |       |          |        |
| Mg <sup>2+</sup>  | 21,70                |  |          | HS <sup>-</sup>                              |       |          |        |
| Ca <sup>2+</sup>  | 57,37                |  |          | NO <sub>3</sub> <sup>-</sup>                 |       |          |        |
| Sr <sup>2+</sup>  |                      |  |          | NO <sub>2</sub> <sup>-</sup>                 | 1,7   |          |        |
| Mn <sup>2+</sup>  |                      |  |          | SO <sub>4</sub> <sup>2-</sup>                | 47,8  |          |        |
| Fe <sup>2+</sup>  |                      |  |          | HPO <sub>4</sub> <sup>2-</sup>               | 0,03  |          |        |
| Al <sup>3+</sup>  |                      |  |          | HA <sub>2</sub> O <sub>4</sub> <sup>2-</sup> |       |          |        |
| Zn <sup>2+</sup>  |                      |  |          | HCO <sub>3</sub> <sup>-</sup>                | 33,1  |          |        |
| Cu <sup>2+</sup>  |                      |  |          | CO <sub>3</sub> <sup>2-</sup>                |       |          |        |
|   |                      |  |          | OH <sup>-</sup>                              |       |          |        |
| <b>Σ</b>  |                      |  |          | <b>Σ</b>                                     |       |          |        |
| CO <sub>2</sub> volný   | 0,28                 | pH   | 7,4      | HBO <sub>2</sub>                             |       |          |        |
| CO <sub>2</sub> aggressive  | 0                    | t vody   |          | H <sub>2</sub> SiO <sub>3</sub>              |       |          |        |
| HS  |                      | t vŕbu   |          | organ. laktiky                               | 0,2   |          |        |
| tvrdosť   | celková 17,2         | mineralizácia  |          | vodivost'                                    |       |          |        |
| ON  | prechodus 14,0       |  |          | Charakter vody a jej použitie:               |       |          |        |
| Voda je typu kalcium-bikarbonátová. Chemicky i bakteriologicicky je nezávadná, využívajú normu 830611 pre pitné vody. |                      |  |          |  |       |          |        |
| Evidenčný list sprievodu (organizácia - meno) p.s.g. Kiripolský J. GEOPOND, Bratislava                                |                      |  |          |  |       |          |        |
|   |                      |  |          |  |       | 8.1.1973 |        |

Obrázok č.4 – Evidenčný list najbližšieho hydrogeologického vrtu (archív Geofond)

#### 4. ZHODNOTENIE PRIESKUMNÝCH PRÁC

Pre splnenie požiadavky objednávateľa a hlavného cieľa vybudovať funkčný monitorovací systém aktuálneho stavu kvality podzemných vôd navrhujeme uskutočniť nasledovné práce:

- **Vrtné práce - vybudovať nové 2 hydrogeologické prieskumné vrty T-1 a T-2 v areáli do hĺbky 10 m.**
- Odber a analýzu podzemnej vody v rozsahu vybraných ukazovateľov.
- Geologické práce - vyhodnotenie výsledkov.

---

| <b>Obsah</b>                                     | <b>Strana</b> |
|--|---------------|
| 1. Úvod  | 3             |
| 2. Prírodné pomery                               | 3             |
| 3. Preskúmanosť územia                           | 6             |
| 4. Zhodnotenie prieskumných prác                 | 7             |
| 4.1. Vrtné práce                                 | 8             |
| 4.2. Prečistenie vrtu                            | 10            |
| 4.3. Vzorkovacie a laboratórne práce             | 10            |
| 4.4. Geologické práce                            | 13            |
| 5. Záver   | 13            |
| 6. Prílohy                                       | 13            |
| Príloha č. 1 Geotechnický profil vrtov T-1 a T-2 | 14            |
| Príloha č. 2 Protokol analýz (PR22C4019)         | 17            |

**Geológia monitorovacieho vrtu T-1**

|              |   |  |
|--------------|---|--|
| 0,00 – 0,30  | – | hlina hnedá  |
| 0,30 – 1,40  | – | navážka - stavebný odpad   |
| 1,40 – 10,00 | – | štrk piesčitý, stredne uľahnutý, s valúnami do ø 6 cm, ojedinele až do 12 cm, sivo hnedý |

Hladina podzemnej vody bola dokumentovaná v úrovni 7,78 m od zámerného bodu na okraji pažnice, ktorá je + 0,79 m od upraveného terénu

**Vrt T-2**

Konštrukčne bol vrt T-2 identicky budovaný ako vrt T-1. Pre definitívnu výstroj vrtu boli použité rovnako PVC rúry o priemere 120 mm.



**Obrázok č.7 – vrt T-2**

**Geológia monitorovacieho vrtu T-2**

|              |   |  |
|--------------|---|--|
| 0,00 – 5,90  | – | navážka - hlina, stavebný odpad  |
| 5,90 – 10,00 | – | štrk piesčitý, stredne uľahnutý, s valúnami do ø 6 cm, ojedinele až do 12 cm, sivo hnedý |

Hladina podzemnej vody ustálená v úrovni 6,47 m od okraja ochranej pažnice, ktorá je cca 0,18 m nad terénom.

#### **4.2. Prečistenie vrtov**

Po dovŕtaní boli vrty T-1 a T-2 prečistené kalovkou a následným začerpaním po dobu cca 1 hodiny, pri čerpaní konštantnej výdatnosti  $Q = 1,0 \text{ l/s}$  až do úplného prečistenia čerpanej vody. Keďže predmetné vrty budú slúžiť len ako monitorovacie - hydrodynamická skúška nebola na nich realizovaná. Z vrtov bola následne odobraná vzorka podzemnej vody po začerpaní.

#### **4.3. Vzorkovacie a laboratórne práce**

Ako už bolo spomínané vybudované monitorovacie vrty T-1 a T-2 budú využívané na sledovanie aktuálneho stavu kvality podzemných vôd v záujmovej oblasti. Hned' po ich vybudovaní boli zapojené do monitorovacieho cyklu sledovania vývoja kvality podzemných vôd v tejto oblasti. Odber vzoriek podzemných vôd bol realizovaný dňa 29.11.2022 po začerpaní.

Vrt T-1 je situovaný tak, že dokumentuje kvalitu podzemných vôd do priestoru „**areálu pritekajúcich**“.

Vrt T-2 dokumentuje kvalitu podzemných vôd z **územia odtekajúcich – dokumentujúci aj prípadný prejav skládky – vrt je priamo situovaný v telesе - skládky – navážkových materiálov**.

Ako už bolo spomínané, vzhľadom na špecifikum lokality (úzka, dlhá parcela v smere „kolmom“ na prirodzený smer prúdenia) bola možnosť naplnenia podmienky dokumentovania stavu kvality podzemných vôd do územia“ pritekajúcich a následne odtekajúcich“ limitovaná.

Na predmetných vrtoch bude zabezpečený pravidelný polročný monitoring kvality **podzemných vôd**. S cieľom dokumentovania aktuálneho stavu kvality podzemných vôd bola z vrtov T-1 a T-2 odobraná vzorka podzemnej vody.

Rozsah analýz pre podzemné vody bol navrhnutý v dostatočnom rozsahu, aby bolo možné zachytiť prípadný vplyv skládky na podzemné vody: konduktivita, pH,  $\text{NH}_4$ , CHSKMn, chloridy, dusičnany, sírany, rozpustené látky, t'ažké kovy, NEL,  $\text{C}_{10}\text{-}\text{C}_{40}$ , PAU.

Obe analýzy podzemných vôd vykonalo akreditované laboratórium ALS Czech Republic, s.r.o. Výsledky analýz sú obsahom prílohy č.2. a sumarizuje ich tabuľka č.2.



Obrázok č.8 - Odber podzemných vôd T-1



a T-2

Pred samotným odberom vzoriek podzemnej vody boli uskutočnené terénne merania vybraných fyzikálno-chemických parametrov podzemnej vody pomocou prístroj YSI – ProPlus. Výsledky meraní sumarizuje nasledujúca tabuľka č.1 fyzikálno-chemické parametre:

- pH, vodivosť, teplota vody a obsah rozpusteného kyslíka vo vode

**Tabuľka č. 1 - Fyzikálno-chemické parametre podzemnej vody**

| Objekt | pH   | Koncentrácia O <sub>2</sub><br>(mg/l) | Špecif. Vodivosť<br>(mS/m) | Teplota<br>(°C) | Hladina podz.<br>vody (m) |
|--------|------|---------------------------------------|----------------------------|-----------------|---------------------------|
| T-1    | 7,56 | 3,84                                  | 74,7                       | 10,8            | 7,78                      |
| T-2    | 7,53 | 3,96                                  | 75,1                       | 10,9            | 6,47                      |

Všetky výsledky analýz podzemnej vody z dotknutého územia sú vyhodnotené podľa smernice MŽP SR č. 1/2015 – 7, ktorá ustanovuje indikačné (ID) a intervenčné (IT) kritériá znečistujúcich látok, pričom:

- **indikačné kritérium (ID)** je hraničná hodnota koncentrácie znečistujúcej látky stanovenej pre pôdu, horninové prostredie a podzemnú vodu, ktorej prekročenie môže ohrozíť ľudské zdravie a životné prostredie, tzn. táto situácia vyžaduje monitorovanie znečisteného územia,
- **intervenčné kritérium (IT)** je kritická hodnota koncentrácie znečistujúcej látky stanovenej pre pôdu, horninové prostredie a podzemnú vodu, ktorej prekročenie pri danom spôsobe využitia územia predpokladá vysokú pravdepodobnosť ohrozenia ľudského zdravia a životného prostredia, tzn. je nutné vykonať podrobnejší geologický prieskum životného prostredia s analýzou rizika znečisteného územia.

**Tabuľka č. 2 - Výsledky analýz**

| UKAZOVATEĽ                           | dátum odberu | Jednotky | ID LIMIT               | IT LIMIT | T-1        | T-2        |
|--------------------------------------|--------------|----------|------------------------|----------|------------|------------|
|                                      |              |          |                        |          | 29.11.2022 | 29.11.2022 |
| <b>Fyzikálne parametre</b>           |              |          |                        |          |            |            |
| Konductivita (25 °C)                 |              | mS/m     | 200                    | 300      | 74,7       | 75,1       |
| pH                                   |              |          | 6,0 – 6,5<br>8,5 – 9,0 | <6 a >9  | 7,58       | 7,52       |
| <b>Anorganické parametre</b>         |              |          |                        |          |            |            |
| Amoniak a amónne ióny ako NH4        |              | mg/l     | 1,2                    | 2,4      | 0,070      | 0,261      |
| CHSK Mn                              |              | mg/l     | 5                      | 10       | <0,50      | 1,81       |
| Chloridy                             |              | mg/l     | 150                    | 250      | 6,59       | 38,6       |
| Dusičnany                            |              | mg/l     | -                      | -        | <2,00      | 32,8       |
| Sírany ako SO <sub>4</sub> (2-)      |              | mg/l     | -                      | -        | 5,44       | 50,2       |
| Rozpustené látky pri 105°C           |              | mg/l     | 2000                   | 3000     | 411        | 441        |
| <b>Celkové kovy / Hlavné katióny</b> |              |          |                        |          |            |            |
| Ag                                   |              | mg/l     | -                      | -        | <0,0050    | <0,0050    |
| Al                                   |              | mg/l     | -                      | -        | 3,46       | 0,157      |
| As                                   |              | mg/l     | 0,05                   | 0,1      | <0,010     | <0,010     |
| B                                    |              | mg/l     | 0,5                    | 5        | 0,033      | 0,041      |
| Ba                                   |              | mg/l     | 1                      | 2        | 0,0937     | 0,0694     |
| Be                                   |              | mg/l     | 0,0001                 | 0,0025   | <0,00020   | <0,00020   |
| Ca                                   |              | mg/l     | -                      | -        | 95,0       | 101        |
| Cd                                   |              | mg/l     | 0,005                  | 0,02     | <0,0020    | <0,0020    |
| Celkový fosfor                       |              | mg/l     | -                      | -        | <0,050     | <0,050     |
| Co                                   |              | mg/l     | 0,1                    | 0,2      | 0,0033     | <0,0020    |

| UKAZOVATEĽ                                       | dátum odberu | Jednotky | ID LIMIT | IT LIMIT | T-1           | T-2           |
|--|--------------|----------|----------|----------|---------------|---------------|
|  |              |          |          |          | 29.11.2022    | 29.11.2022    |
| Cr   |              | mg/l     | 0,15     | 0,3      | <b>0,0059</b> | <0,0020       |
| Cu   |              | mg/l     | 1        | 2        | <b>0,0046</b> | <0,0020       |
| Fe   |              | mg/l     | -        | -        | <b>4,30</b>   | <b>0,0613</b> |
| Hg   |              | mg/l     | 0,002    | 0,005    | <0,010        | <0,010        |
| K  |              | mg/l     | -        | -        | <b>6,85</b>   | <b>8,15</b>   |
| Li   |              | mg/l     | -        | -        | <b>0,0108</b> | <b>0,0075</b> |
| Mg   |              | mg/l     | -        | -        | <b>26,5</b>   | <b>24,4</b>   |
| Mn   |              | mg/l     | -        | -        | <b>0,380</b>  | <b>0,293</b>  |
| Mo   |              | mg/l     | 0,18     | 0,35     | <0,0030       | <b>0,0052</b> |
| Na   |              | mg/l     | -        | -        | <b>26,6</b>   | <b>22,1</b>   |
| Ni   |              | mg/l     | 0,1      | 0,2      | <0,0050       | <0,0050       |
| Pb   |              | mg/l     | 0,1      | 0,2      | <0,010        | <0,010        |
| Sb   |              | mg/l     | 0,025    | 0,05     | <0,020        | <0,020        |
| Se   |              | mg/l     | -        | -        | <0,030        | <0,030        |
| Tl   |              | mg/l     | -        | -        | <0,010        | <0,010        |
| V  |              | mg/l     | 0,15     | 0,3      | <b>0,0061</b> | <0,0020       |
| Zn   |              | mg/l     | 1,5      | 5        | <b>0,0206</b> | <0,0030       |
| <b>Ropné uhl'ovodíky - FTIR</b>                  |              |          |          |          |               |               |
| Nepolárne extrahoffateľné látky                  |              | mg/l     | 0,5      | 1        | <0,050        | <b>0,337</b>  |
| <b>Polycyklické aromatické uhl'ovodíky (PAU)</b> |              |          |          |          |               |               |
| Naftalén   |              | µg/l     | 25       | 50       | <0,100        | <0,100        |
| Acenaftylen                                      |              | µg/l     | -        | -        | <0,010        | <0,010        |
| Acenaftén  |              | µg/l     | -        | -        | <0,010        | <0,010        |
| Fluorén  |              | µg/l     | -        | -        | <0,020        | <0,020        |
| Fenantrén  |              | µg/l     | 5        | 10       | <0,030        | <0,030        |
| Antracén   |              | µg/l     | 5        | 10       | <0,020        | <0,020        |
| Fluorantén                                       |              | µg/l     | 25       | 50       | <0,030        | <0,030        |
| Pyrén  |              | µg/l     | 25       | 50       | <0,060        | <b>0,152</b>  |
| Benzo(a)antracén                                 |              | µg/l     | 0,5      | 1        | <0,010        | <0,010        |
| Chryzén  |              | µg/l     | 0,1      | 0,2      | <0,010        | <0,010        |
| Benzo(b)fluorantén                               |              | µg/l     | 0,25     | 0,5      | <0,010        | <0,010        |
| Benzo(k)fluorantén                               |              | µg/l     | 0,1      | 0,2      | <0,010        | <0,010        |

**Výsledky analytických prác poukázali na dobrú kvalitu podzemných vôd bez zistenej výraznejšej anomálie, či iného preukážateľného ovplyvnenia.**

Na predmetných vrtoch bude následne zabezpečený pravidelný polročný monitoring kvality podzemných vôd v bezprostrednom okolí pomocou vybudovaného systému monitorovacích vrtov T-1 a T-2. Analýzy podzemnej vody bude zabezpečovať akreditované laboratórium. Rozsah analýz pre podzemné vody navrhujeme v prvom roku monitoringu dodržiavať v identickom rozsahu. V ročnej záverečnej správe v prípade potvrdenia dobrej kvality bude podaný návrh na redukciu vybraných ukazovateľov monitoringu.

**Výsledky monitoringu budú vyhodnocované v pravidelných ročných záverečných správach, ktoré budú poskytnuté v prípade potreby príslušným orgánom štátnej správy.**

Monitorovacie práce môžu vykonávať len odborne spôsobilé spoločnosti v zmysle geologického zákona. Všetky práce spojené so sledovaním kvality podzemných vôd posúdi oprávnená hydrogeologická spoločnosť a vypracuje hydrogeologický posudok – záverečnú správu, v ktorej navrhne v prípade zistených anomálii aj prípadné zmeny miesta odberu vzoriek, nové vrtné sondy (ak sú potrebné) a frekvenciu monitorovania.

#### **4.4. Geologické práce**

Vykonané geologické práce, ktoré sú zhodnotené v tejto záverečnej správe, pozostávali zo súboru technických a odborných činností riešiteľského tímu, vykonávaných na dosiahnutie stanovených cieľov navrhovanej úlohy. V rámci tejto etapy geologických prác bola na lokalite aplikovaná riadiaca, metodická a kontrolná činnosť, pomocou ktorej bol zabezpečovaný kontinuálny dozor nad priebehom realizovaných prác.

### **5. ZÁVER**

Vybudovaný monitorovací systém pozostávajúci z 2 vrtov spĺňa základnú požiadavku dokumentovania stavu kvality podzemných vôd do územia pritekajúcich (T-1), ako aj z územia odtekajúcich (T-2).

Vybudovaný monitorovací systém bude využitý v budúcnosti na sledovanie prípadného vplyvu areálu „skládky“ na kvalitu podzemných vôd v tejto oblasti.

V Bratislave: 12.12.2022

Vypracoval:



RNDr. Ján Antal

Mgr. Martin Antal



### **6. PRÍLOHY**

- č.1 Geotechnický profil vrtov T-1 a -2
- č.2 Protokol analýz (PR 2237113)

## **Príloha č. 1**

Geotechnický profil vrtov T-1 a T-2

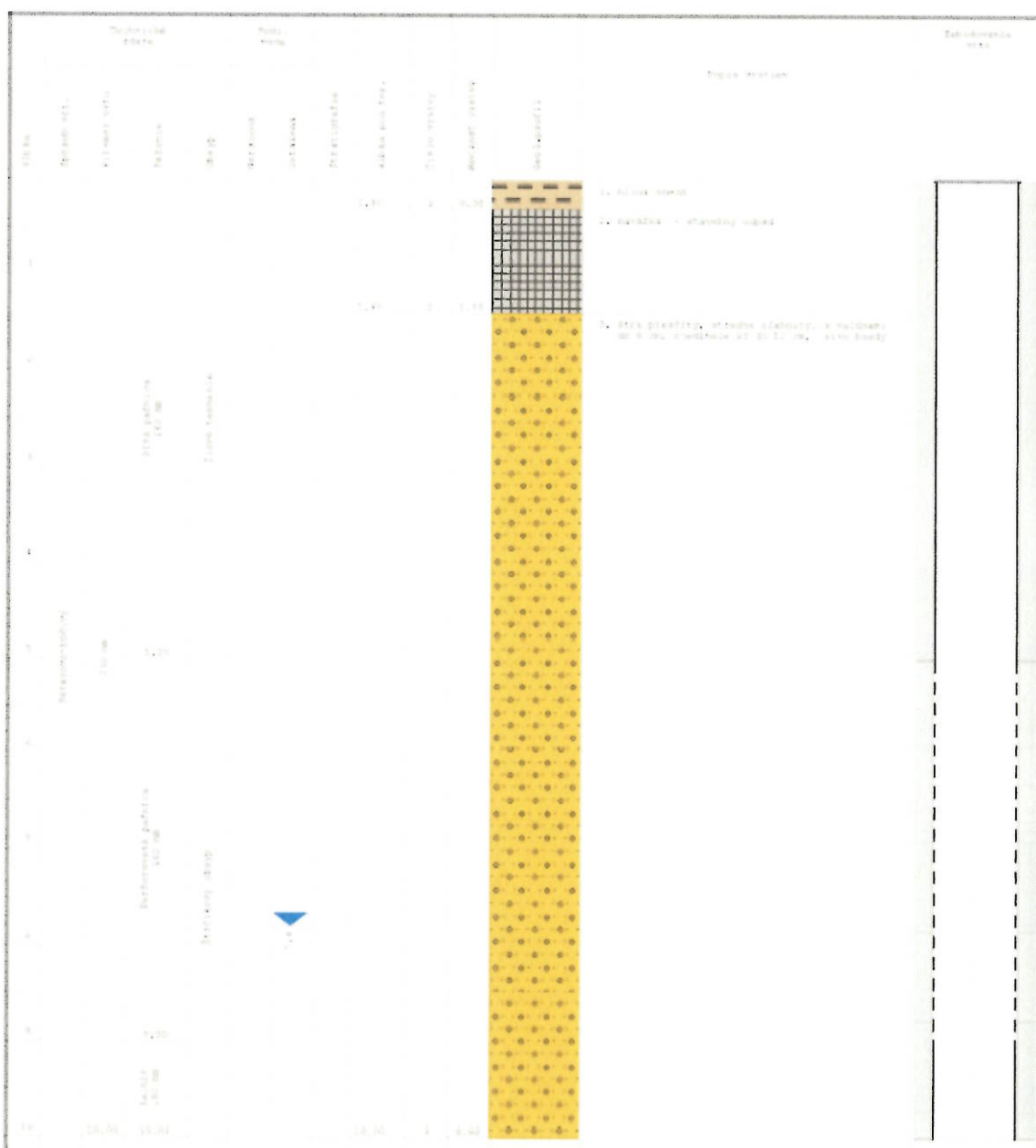
V<sub>rt</sub>: T-1

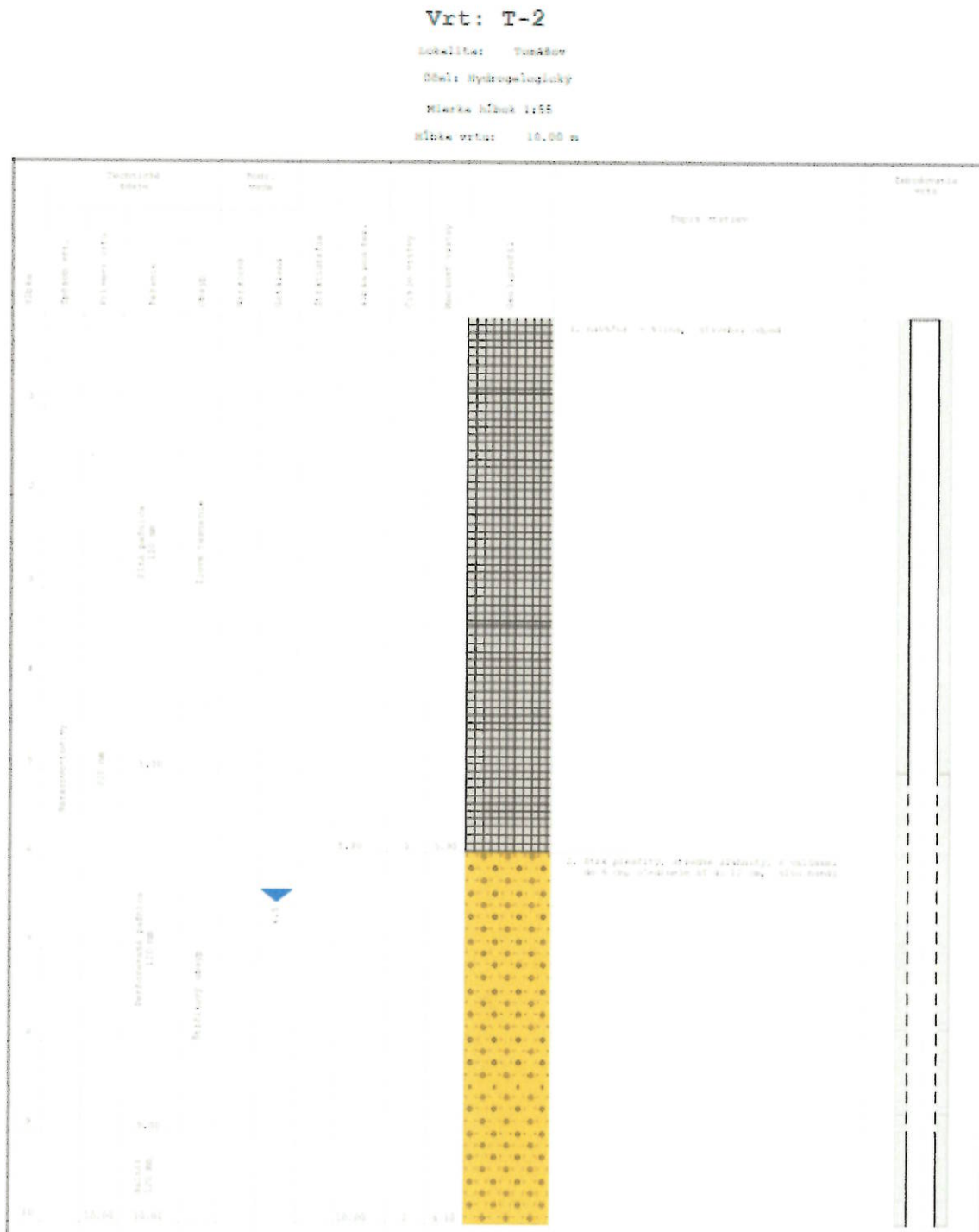
#### Localities      Transitions

Title: Hydrogeology

Mieczka hukok 12/93

Wicks vertes 10.00 m





## Príloha č. 2

Protokol analýz **PR22C4019**



## Protokol o skúške

|                  |   |                         |   |
|------------------|---|-------------------------|---|
| Zákazka          | : PR22C4019   | Dátum vystavenia        | : 8.12.2022   |
| Zákazník         | : HYDRANT s.r.o.  | Laboratórium            | : ALS Czech Republic, s.r.o.                                  |
| Kontakt          | : RNDr. Ján Antal                                       | Kontakt                 | : Zákaznícky servis   |
| Adresa           | : Stupavská 34<br>831 06 Bratislava Slovenská republika | Adresa                  | : Na Harfě 336/9 Praha 9 - Vysočany<br>190 00 Česká republika |
| E-mail           | : antal@hydrantsro.sk                                   | E-mail                  | : customer.support@alsglobal.com                              |
| Telefón          | : ----  | Telefón                 | : +420 226 226 228  |
| Projekt          | : Skladka Tomášov                                       | Stránka                 | : 1 z 3   |
| Číslo objednávky | : ----  | Dátum prijatia          | : 30.11.2022  |
| Miesto odberu    | : Tomášov   | Číslo ponuky            | : PR2019HYDRA-SK0002<br>(SK-180-18-0739)                      |
| Vzorkoval        | : klient  | Dátum vykonania skúšok  | : 1.12.2022 - 8.12.2022                                       |
|                  |   | Úroveň riadenia kvality | : Štandardný QC podľa ALS ČR interných postupov               |

### Poznámky

Bez písomného súhlasu laboratória sa protokol nesmie reprodukovať inak ako celý.

Laboratórium prehlasuje, že výsledky skúšok sa týkajú len vzoriek, ktoré sú uvedené na tomto protokole. Ak je na protokole o skúške v časti "Vzorkoval" uvedené: "Vzorkoval klient", potom sa výsledky vzťahujú na vzorku, ako bola prijatá.

### Za správnosť zodpovedá

Skúšobné laboratorium č. 1163  
akreditované CIA podľa  
CSN EN ISO/IEC 17025:2018

Meno oprávnejnej osoby  
Lubomír Pokorný

Pozícia  
Country Manager



Spoločnosť je certifikovaná podľa ČSN EN ISO 14001 (Systémy environmentálneho managementu) a ČSN ISO 45001 (Systémy managementu bezpečnosti a ochrany zdravia pri práci)



Dátum vystavenia : 8.12.2022  
 Stránka : 2 z 3  
 Zákazka : PR22C4019  
 Zákazník : HYDRANT s.r.o.

### Výsledok

| Parameter                                       | Kód metódy  | LOQ     | Jednotka | Názov vzorky            | T-1          |            | T-2          |            | --- |     |
|---|-------------|---------|----------|-------------------------|--------------|------------|--------------|------------|-----|-----|
|   |             |         |          | Číslo vzorky            | PR22C4019001 | 29.11.2022 | PR22C4019002 | 29.11.2022 | --- | --- |
|   |             |         |          | Dátum odberu/čas odberu |              |            |              |            |     |     |
| <b>Fyzikálne parametre</b>                      |             |         |          |                         |              |            |              |            |     |     |
| Konduktivita (25 °C)                            | W-CON-PCT   | 0.10    | mS/m     | 74.7                    | ± 10.0%      | 75.1       | ± 10.0%      | —          | —   | —   |
| pH  | W-PH-PCT    | 1.00    | —        | 7.58                    | ± 1.0%       | 7.52       | ± 1.1%       | —          | —   | —   |
| <b>Anorganické parametre</b>                    |             |         |          |                         |              |            |              |            |     |     |
| Amoniak a amónne lány ako NH4                   | W-NH4-SPC   | 0.050   | mg/l     | 0.070                   | ± 15.0%      | 0.261      | ± 15.0%      | —          | —   | —   |
| Chloridy  | W-CL-IC     | 1.00    | mg/l     | 6.59                    | ± 15.0%      | 39.6       | ± 15.0%      | —          | —   | —   |
| CHSK Mn   | W-CODMN-SPC | 0.50    | mg/l     | <0.50                   | —            | 1.81       | ± 30.0%      | —          | —   | —   |
| Dusičnany                                       | W-NO3-IC    | 2.00    | mg/l     | <2.00                   | —            | 32.8       | ± 15.0%      | —          | —   | —   |
| Sírany až SO4 (2-)                              | W-SO4-IC    | 5.00    | mg/l     | 5.44                    | ± 15.0%      | 50.2       | ± 15.0%      | —          | —   | —   |
| Rozpustené látky pri 105°C                      | W-TDS-GR    | 10      | mg/l     | 411                     | ± 9.8%       | 441        | ± 9.8%       | —          | —   | —   |
| <b>Celkové kovy / Hlavné kationy</b>            |             |         |          |                         |              |            |              |            |     |     |
| Ag  | W-METAXDG1  | 0.0050  | mg/l     | <0.0050                 | —            | <0.0050    | —            | —          | —   | —   |
| Al  | W-METAXDG1  | 0.010   | mg/l     | 3.46                    | ± 10.0%      | 0.157      | ± 10.0%      | —          | —   | —   |
| As  | W-METAXDG1  | 0.010   | mg/l     | <0.010                  | —            | <0.010     | —            | —          | —   | —   |
| B   | W-METAXDG1  | 0.010   | mg/l     | 0.033                   | ± 10.0%      | 0.041      | ± 10.0%      | —          | —   | —   |
| Ba  | W-METAXDG1  | 0.00050 | mg/l     | 0.0937                  | ± 10.0%      | 0.0694     | ± 10.0%      | —          | —   | —   |
| Be  | W-METAXDG1  | 0.00020 | mg/l     | <0.00020                | —            | <0.00020   | —            | —          | —   | —   |
| Ca  | W-METAXDG1  | 0.050   | mg/l     | 95.0                    | ± 10.0%      | 101        | ± 10.0%      | —          | —   | —   |
| Cd  | W-METAXDG1  | 0.0020  | mg/l     | <0.0020                 | —            | <0.0020    | —            | —          | —   | —   |
| Celkový fosfor                                  | W-METAXDG1  | 0.050   | mg/l     | <0.050                  | —            | <0.050     | —            | —          | —   | —   |
| Co  | W-METAXDG1  | 0.0020  | mg/l     | 0.0033                  | ± 10.0%      | <0.0020    | —            | —          | —   | —   |
| Cr  | W-METAXDG1  | 0.020   | mg/l     | 0.0059                  | ± 10.0%      | <0.0020    | —            | —          | —   | —   |
| Cu  | W-METAXDG1  | 0.0020  | mg/l     | 0.0046                  | ± 10.0%      | <0.0020    | —            | —          | —   | —   |
| Fe  | W-METAXDG1  | 0.0050  | mg/l     | 4.30                    | ± 10.0%      | 0.0613     | ± 10.0%      | —          | —   | —   |
| Hg  | W-METAXDG1  | 0.010   | mg/l     | <0.010                  | —            | <0.010     | —            | —          | —   | —   |
| K   | W-METAXDG1  | 0.015   | mg/l     | 6.85                    | ± 10.0%      | 8.15       | ± 10.0%      | —          | —   | —   |
| Li  | W-METAXDG1  | 0.0020  | mg/l     | 0.0108                  | ± 10.0%      | 0.0075     | ± 10.0%      | —          | —   | —   |
| Mg  | W-METAXDG1  | 0.020   | mg/l     | 26.5                    | ± 10.0%      | 24.4       | ± 10.0%      | —          | —   | —   |
| Mn  | W-METAXDG1  | 0.00050 | mg/l     | 0.380                   | ± 10.0%      | 0.293      | ± 10.0%      | —          | —   | —   |
| Mo  | W-METAXDG1  | 0.0030  | mg/l     | <0.0030                 | —            | 0.0052     | ± 10.0%      | —          | —   | —   |
| Na  | W-METAXDG1  | 0.030   | mg/l     | 26.6                    | ± 10.0%      | 22.1       | ± 10.0%      | —          | —   | —   |
| Ni  | W-METAXDG1  | 0.0050  | mg/l     | <0.0050                 | —            | <0.0050    | —            | —          | —   | —   |
| Pb  | W-METAXDG1  | 0.010   | mg/l     | <0.010                  | —            | <0.010     | —            | —          | —   | —   |
| Sb  | W-METAXDG1  | 0.020   | mg/l     | <0.020                  | —            | <0.020     | —            | —          | —   | —   |
| Se  | W-METAXDG1  | 0.030   | mg/l     | <0.030                  | —            | <0.030     | —            | —          | —   | —   |
| Tl  | W-METAXDG1  | 0.010   | mg/l     | <0.010                  | —            | <0.010     | —            | —          | —   | —   |
| V   | W-METAXDG1  | 0.0020  | mg/l     | 0.0061                  | ± 10.0%      | <0.0020    | —            | —          | —   | —   |
| Zn  | W-METAXDG1  | 0.0030  | mg/l     | 0.0206                  | ± 10.0%      | <0.030     | —            | —          | —   | —   |
| <b>ropné uhľovodíky - FTIR</b>                  |             |         |          |                         |              |            |              |            |     |     |
| Nepôlárne extrahvateľné látky                   | W-TPH-IR    | 0.050   | mg/l     | <0.050                  | —            | 0.337      | ± 20.0%      | —          | —   | —   |
| <b>Polycyklické aromatické uhľovodíky (PAU)</b> |             |         |          |                         |              |            |              |            |     |     |
| Naftalén  | W-PAHGMS05  | 0.100   | µg/l     | <0.100                  | —            | <0.100     | —            | —          | —   | —   |
| Acenaftylen                                     | W-PAHGMS05  | 0.010   | µg/l     | <0.010                  | —            | <0.010     | —            | —          | —   | —   |
| Acenaftén                                       | W-PAHGMS05  | 0.010   | µg/l     | <0.010                  | —            | <0.010     | —            | —          | —   | —   |
| Fluorén   | W-PAHGMS05  | 0.020   | µg/l     | <0.020                  | —            | <0.020     | —            | —          | —   | —   |
| Fenantrén                                       | W-PAHGMS05  | 0.030   | µg/l     | <0.030                  | —            | <0.030     | —            | —          | —   | —   |
| Antracén  | W-PAHGMS05  | 0.020   | µg/l     | <0.020                  | —            | <0.020     | —            | —          | —   | —   |
| Fluorantén                                      | W-PAHGMS05  | 0.030   | µg/l     | <0.030                  | —            | <0.030     | —            | —          | —   | —   |
| Pyrén   | W-PAHGMS05  | 0.060   | µg/l     | <0.060                  | —            | 0.152      | ± 30.0%      | —          | —   | —   |
| Benzo(a)antracén                                | W-PAHGMS05  | 0.010   | µg/l     | <0.010                  | —            | <0.010     | —            | —          | —   | —   |
| Chrysene  | W-PAHGMS05  | 0.010   | µg/l     | <0.010                  | —            | <0.010     | —            | —          | —   | —   |
| Benzo(b)fluoranthen                             | W-PAHGMS05  | 0.010   | µg/l     | <0.010                  | —            | <0.010     | —            | —          | —   | —   |
| Benzo(k)fluorantén                              | W-PAHGMS05  | 0.010   | µg/l     | <0.010                  | —            | <0.010     | —            | —          | —   | —   |
| Benzo(a)pyrene                                  | W-PAHGMS05  | 0.0200  | µg/l     | <0.0200                 | —            | <0.0200    | —            | —          | —   | —   |
| Indeno(1,2,3-c,d)pyrén                          | W-PAHGMS05  | 0.010   | µg/l     | <0.010                  | —            | <0.010     | —            | —          | —   | —   |
| Benzo(g,h,i)perylén                             | W-PAHGMS05  | 0.010   | µg/l     | <0.010                  | —            | <0.010     | —            | —          | —   | —   |
| Dibenzo(a,h)antracén                            | W-PAHGMS05  | 0.010   | µg/l     | <0.010                  | —            | <0.010     | —            | —          | —   | —   |



Dátum vystavenia : 8.12.2022  
 Stránka : 3 z 3  
 Zákazka : PR22C4019  
 Zákazník : HYDRANT s.r.o.

| Matrica: PODzemná voda                                 | Názov vzorky<br>Číslo vzorky<br>Dátum odberu/čas odberu | T-1          |            | T-2          |            | ---    |          |
|--|---|--------------|------------|--------------|------------|--------|----------|
|  |   | PR22C4019001 | 29.11.2022 | PR22C4019002 | 29.11.2022 | ---    | ---      |
|  | Parameter   | Kód metódy   | LOQ        | Jednotka     | Výsledok   | NM     | Výsledok |
| <b>Polyaromatické uhľovodíky (PAU) - Podrážkovanie</b> |   |              |            |              |            |        |          |
| Suma 16 PAU  | W-PAHGMS05  | 0.370        | µg/l       | <0.370       | —          | <0.370 | —        |
| >C10 - C40 frakcie                                     | W-TPHFID01  | 50.0         | µg/l       | <50.0        | —          | 98.3   | ± 30.0%  |

Ak nie je uvedená informácia o dátu odberu vzorky, dátum vzorkovania sa zobrazí bez časovej zložky. V týchto prípadoch laboratórium z dôvodov určí časovú zložku sami. Neistota je rozšírená neistota merania zodpovedajúca 95% intervalu spôsobilosti s koeficientom rozsiahla 1 = 2.

Vysvetlivky: LOQ = Limit stanoviteľnosti, NM = Neistota merania, NM nezahrnuje neistotu vzorkovania.

### Koniec výsledkovej časti protokolu o skúške

#### Prehľad skúšobných metód

| Kód metódy  | Popis metódy  |
|---|---|
| <i>Miesto prevedenia skúšky: Na Harfe 336/9 Praha 9 - Vysokany Česká republika 190 00</i> |   |
| W-CL-IC   | CZ_SOP_D06_02_068 (ČSN ISO 10304-1, ČSN EN 16192) Stanovenie rozpustených fluoridov, chlорidov, bromidov, dusitanov, dusičnanov a síranov metódou iónovej kvapalinovej chromatografie a stanovenie dusitanového a dusičnanového dusíka a síranovej sýry výpočtom z nameraných hodnôt vrátane výpočtu celkovej mineralizácie.  |
| W-CODMN-SPC   | CZ_SOP_D06_02_092 / CZ_SOP_D06_07_041 (ČSN EN ISO 8467, Z1) Titračné stanovenie chemickej spotreby kysíka manganiastanom (CHSK-Mn).   |
| W-CON-PCT   | CZ_SOP_D06_02_075 (ČSN EN 27 888, SM 2520 B) Stanovenie elektrickej konduktivity a výpočet salinity.  |
| W-METAXDG1  | CZ_SOP_D06_02_001 (US EPA 200.7, ISO 11885, US EPA 6010, SM 3120, ČSN 75 7358) Stanovenie prvkov metódou atómovej emisnej spektrometrie s indukčne viazanou plazmou a stechiometrické výpočty obsahu zlášťin z nameraných hodnôt, vrátane výpočtu celkovej mineralizácie a výpočtu sumy Ca + Mg. Vzorka bola pred analýzou homogenizovaná a mineralizovaná kyselinou dusičnou v autokláve za vysokého tlaku a teploty.                  |
| W-NH4-SPC   | CZ_SOP_D06_02_019 (ČSN EN ISO 11732, ČSN EN ISO 13395, SM 4500-NO2-, SM 4500-NO3-) Stanovenie sumy amoniaku a amónnych iónov, dusičnanov a sumy dusitanových a dusičnanových iónov diskrétnou spektrofotometriou a stanovenie dusitanov, dusičnanov, amoniakálneho, anorganického, organického, celkového dusíka, voľného amoniaku a disociovaných amónnych iónov výpočtom z nameraných hodnôt, vrátane výpočtu celkovej mineralizácie. |
| W-NO3-IC  | CZ_SOP_D06_02_068 (ČSN ISO 10304-1) Stanovenie rozpustených fluoridov, chlорidov, bromidov, dusitanov, dusičnanov a síranov metódou iónovej kvapalinovej chromatografie a stanovenie dusitanového a dusičnanového dusíka a síranovej sýry výpočtom z nameraných hodnôt vrátane výpočtu celkovej mineralizácie.  |
| W-PAHGMS05  | CZ_SOP_D06_03_161 mimo kap. 10.1.3 – 10.1.5 (US EPA 8270D, US EPA 8082A, ČSN EN ISO 6468, US EPA 8000D). Stanovenie semiprachavých organických zlášťin metódou plylovej chromatografie s MS alebo MS/MS detekciou a výpočet súm semiprachavých organických zlášťin z nameraných hodnôt.   |
| W-PH-PCT  | CZ_SOP_D06_02_105 (ČSN ISO 10523, US EPA 150.1, SM 4500-H+ B) Stanovenie pH potenciometricky.   |
| W-SO4-IC  | CZ_SOP_D06_02_068 (ČSN EN ISO 10304-1) Stanovenie rozpustených fluoridov, chlорidov, bromidov, dusitanov, dusičnanov a síranov metódou iónovej kvapalinovej chromatografie a stanovenie dusitanového a dusičnanového dusíka a síranovej sýry výpočtom z nameraných hodnôt vrátane výpočtu celkovej mineralizácie.   |
| W-TDS-GR  | CZ_SOP_D06_02_071 (ČSN 757346, ČSN 757347, ČSN EN 15216, SM 2540C) Stanovenie rozpustených látok (RL) a rozpustených látok žíhaním (RAS) s použitím filtrov zo sklenených vláken gravimetricky a stanovenie straty žíhaním rozpustených látok (RL550) výpočtom z nameraných hodnôt (filtre zo sklenených mikrovláken s pôroditou 1.5 µm - Environmental Express).   |
| W-TPHFID01  | CZ_SOP_D06_03_151 (ČSN EN ISO 9377-2, US EPA 8015, US EPA 3510, TNRCC Method 1006) Stanovenie extrahovateľných látok v rozsahu uhľovodíkov C10- C40, ich frakcií výpočtom z nameraných hodnôt metódou plylovej chromatografie s FID detektoriou   |
| W-TPH-IR  | CZ_SOP_D06_02_057 (ČSN 75 7505:2006, STN 830540-4, SS 028145, STN 83 0520-27:2015, STN 83 0530-36, US EPA 418.1, SM 5520 F, DS/R 209, SFS 3010). Stanovenie nepolárnych extrahovateľných látok infračervenou spektrometriou a výpočet polárnych extrahovateľných látok z nameraných hodnôt.   |

Symbol \*\*\* u metódy znamená skúšku mimo rozsahu akreditácie laboratória alebo subdodávateľa. Pokiaľ je v tabuľke metód uvedený kód UNICO-SUB, tak informuje iba o tom, že skúšky boli urobené subdodávateľom a výsledky sú uvedené v prílohe protokolu o skúške, vrátane informácií o akreditácii skúšky. V prípade, že laboratórium použilo pre matricu mimo rozsah akreditácie alebo neštandardnej matrice vzorky postup uvedený v akreditovanej metóde a vydáva neakreditované výsledky, je táto skutočnosť uvedená na titulnej strane tohto protokolu v oddiele „Poznámky“. Ak sú na protokole o skúške výsledky zo subdodávky, potom je miesto uskutočnenia skúšky mimo laboratórium ALS Czech Republic, s.r.o.

Spôsob výpočtu sumačných parametrov je k dispozícii na vyžiadanie v zákazníckom servise.